

FOTOGRAFIAS

9026.- Panorámica que muestra materiales graníticos en la base (blanco) y sedimentos correspondientes a la U.T.S. MC (Unidad Silícea) hacia el techo. Laguna de Sesmil.

9027.- Aspecto general de los conglomerados y areniscas que integran la Unidad Siderolítica (U.T.S. MC). Proximidades de Laguna de Sesmil.

9028.- Areniscas conglomeráticas con concentraciones de óxidos de hierro y nódulos de sílice. Unidad Siderolítica en la zona de transición hacia los niveles silicificados de la Unidad Silícea (U.T.S. MC). Proximidades de Laguna de Sesmil.

9029.- Aspecto general de los conglomerados y areniscas que integran la Unidad Silícea (U.T.S. MC). Proximidades de Laguna de Sesmil.

9030.- Cuerpos de base canalizada constituidos por conglomerados y areniscas fuertemente cementados por sílice (U.T.S. MC). Proximidades de Laguna de Sesmil.

9031.- Areniscas conglomeráticas cementadas por sílice y con concentraciones de sílice a favor de la estratificación. Detalle de 9030.

9032.- Areniscas con cementación silícea. Detalle de 9030.

9033.- Aspecto general de los materiales que integran la Unidad Silícea (U.T.S. MC) en el Teso de la Mesa (carretera que une Peñausende y San Marcial).

9034.- Aspecto general de los conglomerados que integran la Unidad Siderolítica (U.T.S. MC) en las proximidades de Villagarcía.

9035.- Detalle de 9034. Cantos de cuarzo flotando dentro de una matriz arenoso-arcillosa ligeramente cementada por sílice.

9036.- Panorámica tomada desde las proximidades de Laguna de Sesmil hacia el N de la Hoja. Se observa en primer término los materiales que conforman el techo de la U.T.S. MC y al fondo, en una posición topográfica más baja, los materiales arcósicos correspondientes a la U.T.S. P1 (relleno de un paleorelief).

9037.- Panorámica tomada desde las proximidades de Laguna de Sesmil hacia el SE. En primer término el techo de los depósitos de la U.T.S. MC y al fondo se encuentran los materiales que integran las U.T.S. P1 y P2.

9038.- Conglomerados y areniscas cementados por sílice en la base de la sucesión (U.T.S. MC) y depósitos arcósicos hacia el techo (U.T.S. P1). En el Teso de la Mesa.

9039.- Cuerpo de base canalizada cortando a depósitos conglomeráticos y arenosos de naturaleza arcósica (U.T.S. P1). Cantera de Valdelosa.

9040.- Detalle del relleno conglomerático-arenoso del canal que se ha señalado en 9039. Estos depósitos de canal están fosilizados por lutitas ocres, con abundantes rasgos edáficos, que se interpretan como depósitos de llanura de inundación.

9041-9042.- Contacto neto entre los depósitos de canal y de llanura de inundación señalados en 9040.

9043-9044.- Conglomerados arcósicos con estratificación cruzada en surco de mediana escala. Cantera de Valdelosa.

9045.- Conglomerados con estratificación cruzada planar en la base del perfil y estratificación cruzada en surco hacia el techo del mismo (U.T.S. P1). Cantera de Valdelosa.

9046.- Conglomerados arcósicos con estratificación con estratificación cruzada en surco (U.T.S. P1). Cantera de Valdelosa.

9047.- Cuerpo tabular constituido por lutitas verdes sobre el que se dispone un cuerpo de morfología canalizada y naturaleza arenosa (verde claro). Se interpretan como depósitos de llanura de inundación y de canal respectivamente.

9048.- Detalle del contacto entre las lutitas y arenas señaladas en 9047. Este contacto es neto y está remarcado por la acumulación de carbonatos.

9049.- Lutitas verdes con intercalación de un nivel conglomerático de geometría canalizada que se interpreta como canal de desbordamiento (U.T.S. P1). Cantera de Valdelosa.

9050.- Banco tabular de conglomerados y arenas arcósicas. U.T.S. P1. Cantera de Valdelosa.

9051.- Contacto neto entre los materiales arcósicos referidos en 9050 y los sedimentos lutíticos infrayacentes.

9052.- Conglomerados y arenas con estratificación cruzada de gran y mediana escala. Detalle del banco tabular señalado en 9050.

9053-9054.- Aspecto general de los materiales siliciclásticos que conforman la U.T.S. P2 en las proximidades de Fuente el Carnero.

9055.- Detalle de uno de los cuerpos conglomeráticos que aflora en Fuente el Carnero (9054). Conglomerados con estratificación cruzada en surco de gran escala reposando sobre arenas masivas.

9056.- Detalle de 9055.

9057.- Conglomerados y arenas, formando cuerpos de geometría canalizada, intercalados entre lutitas y arenas finas (U.T.S. P2). Proximidades de El Cubo de la Tierra del Vino.

9058.- Detalle de uno de los cuerpos canalizados señalados en 9057. Los colores rojos que muestra la diapositiva son sólo superficiales, el sedimento es de color blanco-verde.

9059.- Detalle de los depósitos de relleno de canal señalados en 9058. Son arenas finas intensamente bioturbadas. La bioturbación, de origen animal, está remarcada por carbonato.

9060.- Arenas finas de relleno de canal (sección longitudinal) intercaladas entre lutitas de color ocre y disyunción prismática interpretadas como depósitos de llanura de inundación (U.T.S. P2). Proximidades de El Cubo de la Tierra del Vino.

9061.- Detalle de 9060. En la parte inferior lutitas carbonatadas y en la superior arenas finas bioturbadas (la bioturbación, de origen animal, está remarcada por carbonato magnésico).

9062.- Detalle de los depósitos lutíticos citados en 9061. En estos sedimentos lutíticos se diferencian concentraciones nodulares o difusas de carbonato, pedotúbulos y bioturbación.

9063.- Detalle de 9062 en la que se muestra, en primer término, una bioturbación. ALONSO (1981) indentifica una ichnofacies, similar a las que aparecen en estos sedimentos, como Beaconites.

9064.- Contacto entre los depósitos lutíticos (llanura de inundación) y cuerpos conglomeráticos de geometría canalizada (U.T.S. P2). Proximidades de El Cubo de la Tierra del Vino.

9065.- Aspecto textural de los conglomerados citados en 9064.

9066.- Conjunto de fracturas de plano subvertical y direcciones N140E y N180E-N200E. Afectan a los materiales siliciclásticos de la U.T.S. P2. Proximidades de El Cubo de la Tierra del Vino.

9067.- Detalle de las fracturas citadas en 9066.

9068.- Nivel de conglomerados cementados por carbonato y karstificados (U.T.S. P2). Km 44.5 de la carretera que une Fuentesauco y la N-630.

9069.- Detalle de los conglomerados citados 9068.

9070-9071.- Rasgos kársticos en conglomerados cementados por carbonato (U.T.S. P2). Km 44.5 de la carretera que une Fuentesauco con la N-630.

9072.- Conglomerados y arenas correspondientes a la U.T.S. P2 afectados por un perfil de alteración (rubefacción y argilización) rojo mioceno.

9073-9075.- Detalle de los conglomerados citados en 9072. Nótese la abundancia de cuarzo, cuarcita (centímetros 9 cm) y lidita; los cantos de esquistos o pizarras son muy escasos y se encuentran muy alterados.

9076.- Conglomerados afectados por un perfil de alteración rojo (rubefacción y argilización) y un perfil de alteración más tardío ocre (lavado del sedimento y decoloración).

9077-9078.- Detalle de 9076.

9079.- Conglomerados con estratificación cruzada de gran escala. Techo de la U.T.S. P2 en Los Horcados (área de Valdelosa).

9080.- Areniscas cementadas por carbonato (U.T.S. P2). Proximidades de Valdelosa.

9081-9084.- Conglomerados y arenas que constituyen el techo de la U.T.S. P2 en las proximidades de Valdelosa. Estos depósitos están afectados un perfil de alteración rojo (rubefacción y argilización) y otro ocre (decoloración y lavado del sedimento).















































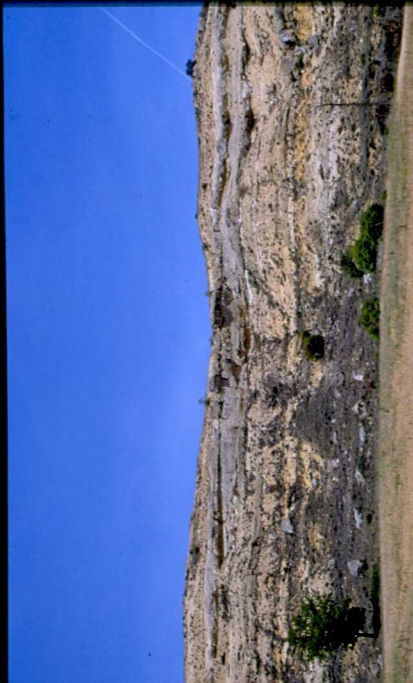
















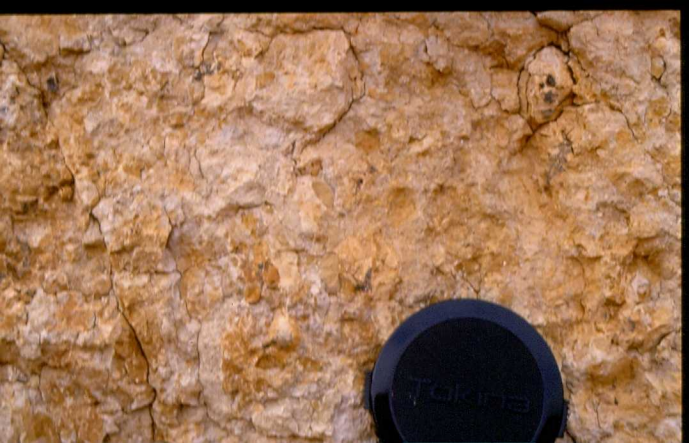




















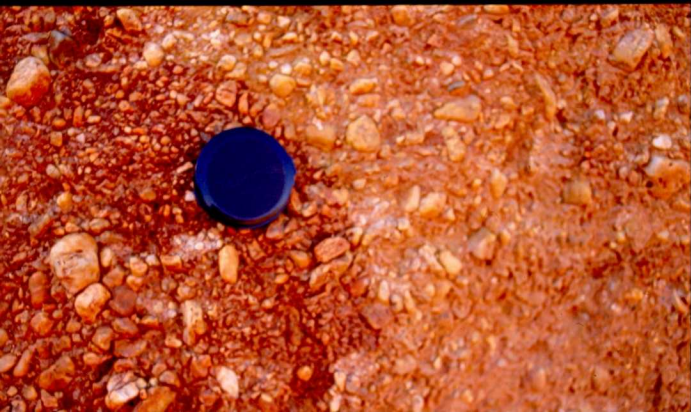










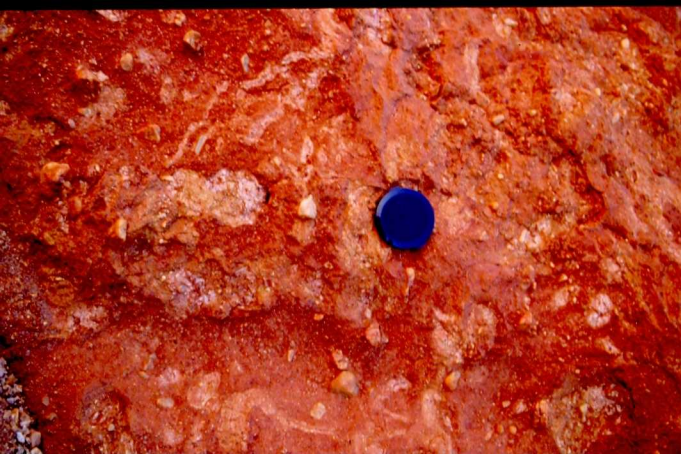






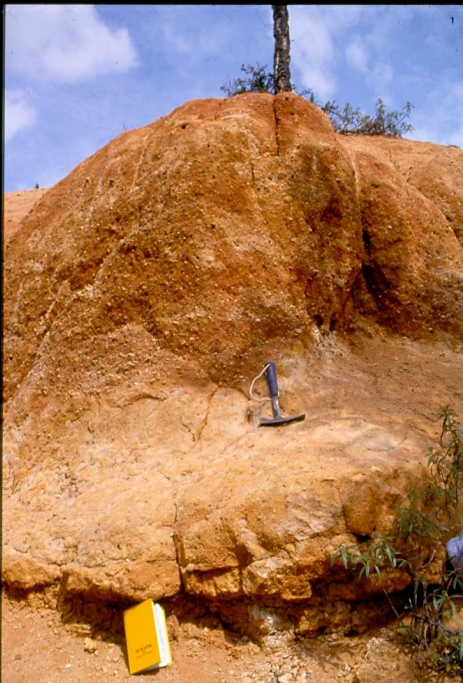


















TOKINA